

4.4 矢量磁位的微分方程

➤ 在线性各向同性的介质中,

$$\left. \begin{array}{l} \vec{B} = \mu \vec{H} \\ \nabla \times \vec{H} = \vec{J} \end{array} \right\} \Rightarrow \nabla \times \vec{H} = \nabla \times \left(\frac{\vec{B}}{\mu} \right) = \frac{1}{\mu} \nabla \times \vec{B} = \vec{J}$$

$$\Rightarrow \nabla \times \nabla \times \vec{A} = \mu \vec{J}$$

$$\because \nabla^2 \vec{A} = \nabla(\nabla \cdot \vec{A}) - \nabla \times \nabla \times \vec{A}$$

且假定 $\nabla \cdot \vec{A} = 0$ (库仑规范)

$$\therefore \nabla^2 \vec{A} = -\nabla \times \nabla \times \vec{A} = -\mu \vec{J}$$

矢量磁位的泊松方程

若求解区域中 $\vec{J} = 0$, 则

$$\nabla^2 \vec{A} = 0$$

矢量磁位的laplace方程

➤在直角坐标系中，

$\nabla^2 \vec{A} = -\mu \vec{J}$ 可分解成三个标量形式的泊松方程：

$$\begin{cases} \nabla^2 A_x = -\mu J_x \\ \nabla^2 A_y = -\mu J_y \\ \nabla^2 A_z = -\mu J_z \end{cases}$$

∇^2 算符是标量Laplace算符，

方程与静电场的电位泊松方程形式相同，
其求解方法以及所得的解与电位相同。

4.5 恒定磁场的边界条件

➤ 在不同磁介质的分界面两侧，恒定磁场的场量所满足的相互关系

一、恒定磁场的场矢量 \vec{B} 和 \vec{H} 满足的边界条件

1) 法向磁场的边界条件

应用 $\int_S \vec{B} \cdot d\vec{S} = 0 \Rightarrow$

$$B_{2n} = B_{1n} \text{ 或 } \vec{e}_n \cdot (\vec{B}_2 - \vec{B}_1) = 0$$

2) 切向磁场的边界条件

应用 $\oint_C \vec{H} \cdot d\vec{l} = I = \int_S \vec{J} \cdot d\vec{S} \Rightarrow$

$$H_{2t} - H_{1t} = J_{sN} \text{ 或 } \vec{e}_n \times (\vec{H}_2 - \vec{H}_1) = \vec{J}_s$$

若界面上无传导面电流，则界面上存在束缚电流

$$\vec{J}_s' = \frac{1}{\mu_0} (B_{2t} - B_{1t})$$

$$\vec{J}_s' = \vec{J}_{s1}' + \vec{J}_{s2}' = \vec{M}_1 \times \vec{e}_n + \vec{M}_2 \times (-\vec{e}_n) = \vec{e}_n \times (\vec{M}_2 - \vec{M}_1)$$

若界面上无
自由电流

$$= \vec{e}_n \times \left[\left(\frac{\vec{B}_2}{\mu_0} - \vec{H}_2 \right) - \left(\frac{\vec{B}_1}{\mu_0} - \vec{H}_1 \right) \right] = \frac{\vec{e}_n}{\mu_0} \times (\vec{B}_2 - \vec{B}_1) = \frac{B_{2t} - B_{1t}}{\mu_0}$$

二、在不同磁介质分界面上的磁场方向的关系

\vec{B} 和 \vec{H} 在两种介质分界面两侧常要改变方向

设 \vec{B}_1 和 \vec{B}_2 与界面法线夹角分别为 θ_1 和 θ_2

若分界面上自由电流密度 $\vec{J}_s = 0$,

$$\left. \begin{aligned} H_{2t} = H_{1t} &\Rightarrow H_2 \sin \theta_2 = H_1 \sin \theta_1 \Rightarrow \frac{B_2}{\mu_2} \sin \theta_2 = \frac{B_1}{\mu_1} \sin \theta_1 \\ B_{2n} = B_{1n} &\Rightarrow B_2 \cos \theta_2 = B_1 \cos \theta_1 \end{aligned} \right\} \frac{\tan \theta_1}{\tan \theta_2} = \frac{\mu_1}{\mu_2}$$

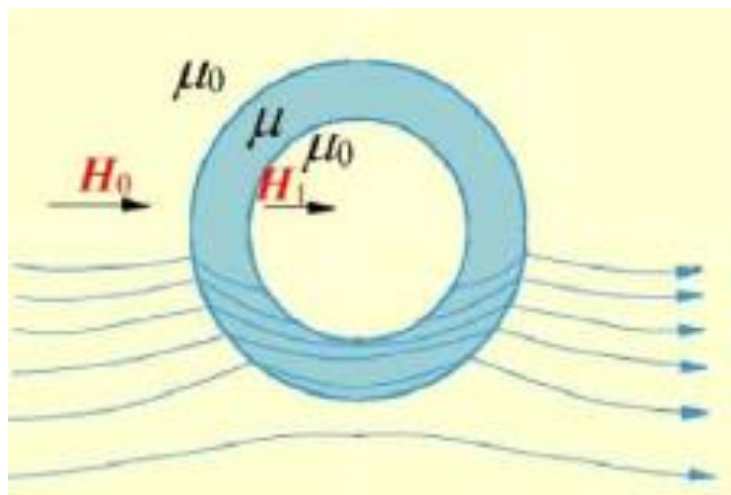
μ 较大的介质中，磁感应线与界面法线之间的夹角也越大，

顺磁质和抗磁质， $\mu = \mu_0$ ，这两类介质的分界面上，磁场方向改变很小。

在铁磁质（ μ_1 ）和非铁磁质（ μ_2 ）分界面上，

$$\mu_1 \gg \mu_2, \tan \theta_1 \gg \tan \theta_2,$$

只要铁磁质内 $\theta_1 \neq \pi/2$ ，则 $\theta_2 \approx 0$ 。



例4-3-2 铁心磁环尺寸和截面积如图，已知铁心磁导率 $\mu \gg \mu_0$ ，磁环上绕有 N 匝线圈，通有电流 I ，求：1) 磁环中的 \vec{B}, \vec{H}, Ψ ，2) 若在铁心上开一小切口，计算磁环中的 \vec{B}, \vec{H}, Ψ

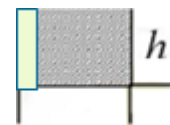
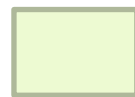
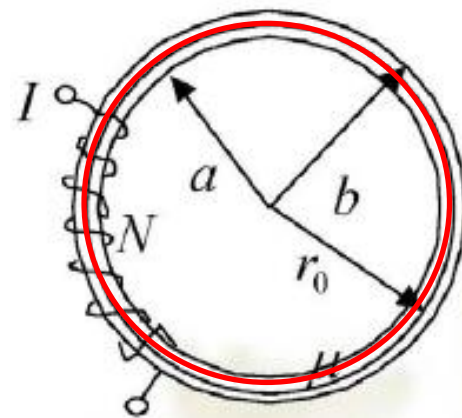
解：(1)采用圆柱坐标系，在磁环内取半径为 ρ 的圆作为积分路径，由安培环路定律

$$\oint_l \vec{H} \cdot d\vec{l} = \int_S \vec{J} \cdot d\vec{S}$$

$$\Rightarrow H_\phi 2\pi\rho = \sum I = NI \Rightarrow H_\phi = \frac{NI}{2\pi\rho}$$

$$\Rightarrow \vec{H} = \vec{e}_\phi \frac{NI}{2\pi\rho} \Rightarrow \vec{B} = \mu\vec{H} = \vec{e}_\phi \frac{\mu NI}{2\pi\rho}$$

$$\Rightarrow \Psi = \int_S \vec{B} \cdot d\vec{S} = \int_{\rho=a}^b \left(\vec{e}_\phi \frac{\mu NI}{2\pi\rho} \right) \cdot (\vec{e}_\phi h d\rho) = \frac{\mu NI h}{2\pi} \ln \frac{b}{a}$$



(2)开切口后

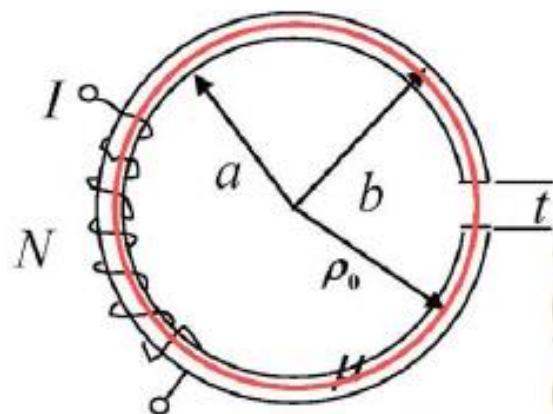
在切口处，磁场垂直于边界面， $\vec{B} = \vec{e}_\varphi B_n$ ，由边界条件知在边界面上 \vec{B} 连续， \vec{H} 不连续。

$$\oint_l \vec{H} \cdot d\vec{l} = \int_S \vec{J} \cdot d\vec{S}$$

$$\Rightarrow H_{\varphi 1}(2\pi\rho - t) + H_{\varphi 2}t = \sum I = NI$$

$$\Rightarrow \frac{B_{\varphi 1}}{\mu}(2\pi\rho - t) + \frac{B_{\varphi 2}}{\mu_0}t = \sum I = NI$$

$$\Rightarrow B_{\varphi 1} = B_{\varphi 2} = B = \frac{NI\mu}{(2\pi\rho - t) + \mu_r t}$$



由于铁心很细，可近似认为磁力线均匀分布在截面上

$$\Rightarrow \vec{B} = \vec{e}_\varphi \frac{NI\mu}{(2\pi\rho - t) + \mu_r t} \approx \vec{e}_\varphi \frac{NI\mu}{(2\pi\rho_0 - t) + \mu_r t}$$

$$\Rightarrow \vec{H} = \frac{\vec{B}}{\mu} = \begin{cases} \vec{e}_\varphi \frac{NI}{(2\pi\rho_0 - t) + \mu_r t} & \text{铁芯} \\ \vec{e}_\varphi \frac{NI\mu}{\mu_0(2\pi\rho_0 - t) + \mu t} & \text{空气隙} \end{cases}$$

$$\Rightarrow \Psi = \vec{B} \cdot \vec{S} = \frac{NI\mu}{(2\pi\rho_0 - t) + \mu_r t} h(b - a)$$

4.6 电感

一、电感的定义

在线性各向同性媒质中， μ 为标量，且不随外加磁场（或电流）变化
穿过任意回路的磁通量与电流回路中电流强度成正比。

电流回路
在场点处
产生磁场

$$\vec{B} = \oint \frac{\mu}{4\pi} \frac{Id\vec{l} \times \vec{R}}{R^3} \propto I$$

穿过任意回
路的磁通量

$$\Phi = \int_S \vec{B} \cdot d\vec{S} \propto I \quad \Phi \propto I$$

➤磁链 ψ ：

当 C 为单匝导线绕成时，为穿过该回路的磁通 ϕ 。

当回路由 N 匝导线绕成时，则总磁通是各匝磁通之和，称为磁链 ψ ，
若 N 匝线圈密集，则 $\psi = N\phi$ 为穿过该回路的磁链。

➤自感 L ：若磁场是由回路本身的电流产生，则回路的磁链 ψ 称为自感磁链，
 $\psi \propto I$ ，自感磁链与电流的比值称为自感系数(简称自感 L)，即：

$$L = \frac{\Psi}{I} \text{ (单位：亨H)}$$

➤线圈的自感取决于线圈本身的几何形状、尺寸、匝数以及介质的性质，而与线圈中的电流无关。

➤ **互感 M** ：若有两个相隔不远的导线回路 C_1 和 C_2 ，电流分别为 I_1 和 I_2 ，

• 一个线圈中电流产生的且与另一个线圈相交链的磁链称为互感磁链。

• 若 C_1 中电流 I_1 产生的磁场与回路2相交链的磁链记为 ψ_{21} ，则回路1对回路2的互感系数（简称互感）为：

$$M_{21} = \frac{\Psi_{21}}{I_1} (\text{单位：亨}H)$$

• 同理，若 C_2 中电流 I_2 产生的磁场与回路1相交链的磁链记为 ψ_{12} ，则回路2对回路1的互感系数（简称互感）为：

$$M_{12} = \frac{\Psi_{12}}{I_2} (\text{单位：亨}H)$$

• 互感仅与两线圈的几何形状、尺寸、匝数、相对位置以及周围介质的性质（ μ ），而与线圈中的电流无关。

4.7 恒定磁场的能量及能量密度

恒定磁场由恒定电流产生，因此恒定磁场的能量就是恒定电流具有的能量。

一、载流回路系统的能量

- ★ 电流回路系统的能量是建立电流过程中由电源供给的。

- ★ 当电流从零增加时，回路感应电动势将阻止电流的增加，假想一个电源，它能提供外加电压克服感应电动势而作功，使回路能量增加。

- ★ 若所有回路固定，且忽略焦耳损耗，则电源作功将全部变为电流回路系统的磁场能量，这时回路上的外加电压和回路中的感应电动势大小相等方向相反。

- ★ 假设：媒质为线性；

磁场建立无限缓慢（不考虑辐射）

系统能量仅与系统的最终状态有关，与能量建立过程无关。

回路 j 中的感应电动势为

$$\varepsilon_j = -\frac{\partial \Psi_j}{\partial t}$$

外加电压

$$u_j = -\varepsilon_j = \frac{\partial \Psi_j}{\partial t}$$

若 t 时刻，回路电流为 i_j ，则：

dt 时间内与回路 j 相连的电源所作的功

$$dW_j = u_j i_j dt = \frac{\partial \Psi_j}{\partial t} i_j dt = i_j d\Psi_j$$

若系统包含 N 个回路，增加的磁场能量为

$$dW_m = \sum_{j=1}^N dW_j = \sum_{j=1}^N i_j d\Psi_j$$

而回路 j 的磁链为

$$\Psi_j = \sum_{k=1}^N M_{jk} i_k$$

$$dW_m = \sum_{j=1}^N dW_j = \sum_{j=1}^N \sum_{k=1}^N i_j d(M_{jk} i_k)$$

$$\begin{cases} k \neq j & \text{互感系数} \\ k = j, M_{jj} = L_j & \text{自感系数} \end{cases}$$

$$dW_m = \sum_{j=1}^N \sum_{k=1}^N i_j M_{jk} di_k$$

$$dW_m = \sum_{j=1}^N \sum_{k=1}^N i_j M_{jk} di_k$$

假设所有回路中的电流同时从零开始以百分比 α 同比例增加，即 $i_j = \alpha(t) I_j$

则 $di_k = I_k d\alpha$ 于是

$$dW_m = \sum_{j=1}^N \sum_{k=1}^N (\alpha I_j) M_{jk} (I_k d\alpha) = \sum_{j=1}^N \sum_{k=1}^N I_j M_{jk} I_k \alpha d\alpha$$

充电过程完成后，系统的总磁场能量

$$W_m = \int dW_m = \sum_{j=1}^N \sum_{k=1}^N M_{jk} I_j I_k \int_0^1 \alpha d\alpha = \frac{1}{2} \sum_{j=1}^N \sum_{k=1}^N M_{jk} I_j I_k$$

例

单回路 $N = 1: M_{11} = L_1, W_m = \frac{1}{2} L_1 I_1^2$

双回路 $N = 2: \begin{cases} M_{11} = L_1 \\ M_{22} = L_2 \\ M_{12} = M_{21} = M \end{cases}, W_m = \frac{1}{2} L_1 I_1^2 + \frac{1}{2} L_2 I_2^2 + M I_1 I_2$

★ 磁场能量还可由矢量磁位 \vec{A} 表示

$$W_m = \frac{1}{2} \sum_{j=1}^N \sum_{k=1}^N I_j (M_{jk} I_k)$$

$$= \frac{1}{2} \sum_{j=1}^N I_j (\Psi_j)$$



$$\Psi_j = \sum_{k=1}^N M_{jk} i_k$$

$$\because \Psi = \int \vec{B} \cdot d\vec{S} = \oint_C \vec{A} \cdot d\vec{l}$$

$$= \frac{1}{2} \sum_{j=1}^N I_j \left(\oint_{C_j} \vec{A} \cdot d\vec{l}_j \right) = \frac{1}{2} \sum_{j=1}^N \left(\oint_{C_j} \vec{A} \cdot I_j d\vec{l}_j \right)$$

$$W_m = \frac{1}{2} \sum_{j=1}^N \sum_{k=1}^N M_{jk} I_j I_k$$

当电流是分布于体积 V 中，且电流密度为 \vec{j} 的体分布电流时，则用体电流元代替线电流元。

$$Id\vec{l} \rightarrow \vec{J}dV$$

$$\Rightarrow W_m = \frac{1}{2} \int_V \vec{A} \cdot (\vec{J}dV)$$

得体电流的磁场能量：

$$W_m = \frac{1}{2} \int_V (\vec{A} \cdot \vec{J}) dV$$

同理可得面电流的磁场能量：

$$W_m = \frac{1}{2} \int_S (\vec{A} \cdot \vec{J}_s) dS$$

二、磁场能量的场矢量表示 能量密度

$$\begin{aligned}\because W_m &= \frac{1}{2} \int_V (\vec{A} \cdot \vec{J}) dV \\&= \frac{1}{2} \int_V \vec{A} \cdot (\nabla \times \vec{H}) dV \\&= \frac{1}{2} \int_V [\nabla \cdot (\vec{H} \times \vec{A}) + \vec{H} \cdot (\nabla \times \vec{A})] dV \\&= \frac{1}{2} \int_S (\vec{H} \times \vec{A}) \cdot d\vec{S} + \frac{1}{2} \int_V (\vec{H} \cdot \vec{B}) dV \\&= 0 + \frac{1}{2} \int_V (\vec{H} \cdot \vec{B}) dV \\&= \frac{1}{2} \int_V (\vec{H} \cdot \vec{B}) dV\end{aligned}$$

能量体密度:

$$w_m = \frac{1}{2} \vec{H} \cdot \vec{B}$$

$$\nabla \cdot (\vec{H} \times \vec{A}) = \vec{A} \cdot (\nabla \times \vec{H}) - \vec{H} \cdot (\nabla \times \vec{A})$$

将积分扩展到整个空间

$$\vec{A} = \frac{\mu_0}{4\pi} \int_{V'} \frac{\vec{J}}{R} dV' \quad \vec{B} = \frac{\mu_0}{4\pi} \int_V \frac{\vec{J} \times \vec{e}_R}{R^2} dV'$$

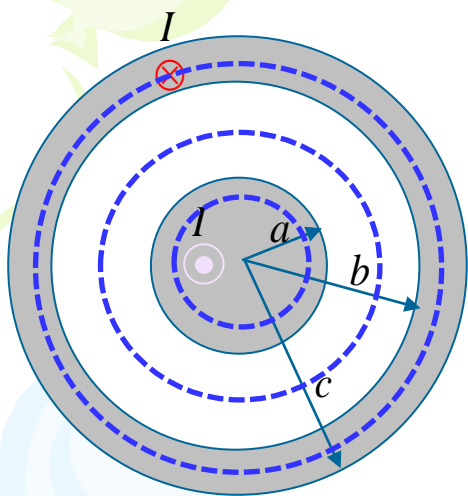
$$d\vec{S} = \vec{e}_R R^2 \sin \theta d\theta d\varphi$$

$$A \propto \frac{1}{R}, H \propto \frac{1}{R^2}, ds \propto R^2$$

对于线性、各向同性媒质, 有:

$$w_m = \frac{1}{2} \mu H^2$$

例 4.7.1 求如图所示无限长同轴线单位长度内的磁场能量。



$$W_m = \frac{1}{2} \mu \int_V H^2 dV$$

解：由安培环路定律：

在 $r \leq a$ 的区域

$$\vec{H}_1 = \vec{e}_\phi \frac{I \pi r^2}{\pi a^2} \frac{1}{2\pi r} = \vec{e}_\phi \frac{I}{2\pi a^2} r$$

在 $a \leq r \leq b$ 的区域

$$\vec{H}_2 = \vec{e}_\phi \frac{I}{2\pi r}$$

在 $b \leq r \leq c$ 的区域由基本方程 $\oint \vec{H}_3 \cdot d\vec{l} = \sum I$

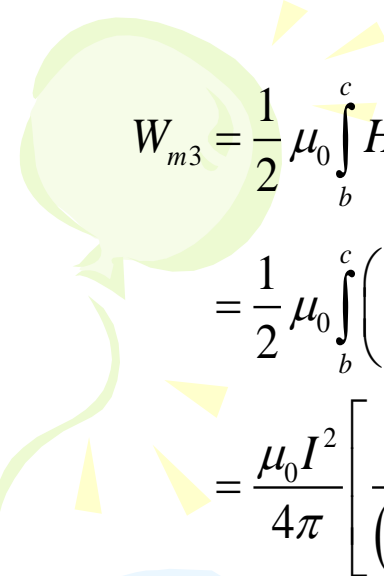
$$2\pi r H_3 = I - \frac{I}{(c^2 - b^2)} (r^2 - b^2) = I \left(\frac{c^2 - r^2}{c^2 - b^2} \right)$$

$$\vec{H}_3 = \vec{e}_\phi \frac{I}{2\pi r} \frac{(c^2 - r^2)}{(c^2 - b^2)}$$

三个区域单位长度内的磁场能量分别为

$$\begin{aligned} W_{m1} &= \int_V \frac{1}{2} \mu \vec{H} d\mathbf{v} = \frac{1}{2} \mu_0 \int_0^a H_1^2 2\pi r dr \\ &= \frac{1}{2} \mu_0 \int_0^a \left(\frac{I}{2\pi a} \right)^2 2\pi r^3 dr = \frac{\mu_0 I^2}{16\pi} \end{aligned}$$

$$\begin{aligned} W_{m2} &= \frac{1}{2} \mu_0 \int_a^b H_2^2 2\pi r dr \\ &= \frac{1}{2} \mu_0 \int_a^b \left(\frac{I}{2\pi r} \right)^2 2\pi r dr = \frac{\mu_0 I^2}{4\pi} \ln \frac{b}{a} \end{aligned}$$


$$\begin{aligned}W_{m3} &= \frac{1}{2} \mu_0 \int_b^c H_3^2 2\pi r dr \\&= \frac{1}{2} \mu_0 \int_b^c \left(\frac{I}{2\pi r} \right)^2 \left(\frac{c^2 - r^2}{c^2 - b^2} \right)^2 2\pi r dr \\&= \frac{\mu_0 I^2}{4\pi} \left[\frac{c^4}{(c^2 - b^2)^2} \ln \frac{c}{b} - \frac{3c^2 - b^2}{4(c^2 - b^2)} \right]\end{aligned}$$

总磁场能量

$$W_m = \frac{1}{2} L_0 I^2 = W_{m1} + W_{m2} + W_{m3}$$

作业： 5. 4, 5. 6(1, 2),
5. 12